

## Q-19

### Magnetic tunnel junction에서의 계면 삽입층과 산화시간이 자기저항 거동에 미치는 영향

한국과학기술원 재료공학과 박병국\*, 이택동

### Effect of interfacial material and oxidation time on magnetoresistance in magnetic tunnel junctions

Korea Advanced Institute of Science and Technology B.G. Park\*, T.D. Lee

#### 1. 서론

Magnetic tunnel junction은 최근 자기저항 헤드나 MRAM(magnetoresistive random access memory)-용 재료로서 큰 관심을 받고 있다. 이 터널 접합의 경우 자기저항비가 20%이상으로 다른 자기저항 재료보다 크고 포화자계도 작기 때문에 많은 연구가 진행되고 있다. 이 터널 접합에서는 강자성체를 분리하는 절연층 형성이 매우 중요하며 강자성체와 절연층의 계면의 상태도 자기저항에 큰 영향을 미친다고 보고되고 있다[1]. 따라서 본 연구에서는 계면의 자성체를 NiFe, Co, CoFe로 변화하면서 이에 따른 자기저항의 거동을 연구하고 또한 산화 시간의 변화에 따른 자기저항과 접합 저항의 거동에 대해서 연구하였다.

#### 2. 실험 방법

DC magnetron sputtering을 이용하여 열산화막이 200nm 존재하는 Si(100) 기판위에 Ta(5nm)/NiFe(8nm)/FeMn(12nm)/FM(8nm)/Al<sub>2</sub>O<sub>3</sub>/FM(18nm) [FM, ferromagnetic materials NiFe, NiFe/Co, NiFe/CoFe]의 구조를 갖는 막을 성막하였다. 초기진공도는  $3 \times 10^{-7}$ Pa이고 아르곤 분압은 3~5mtorr이었다. 접합은 metal mask를 사용하여 접합면적이  $200 \times 200 \mu\text{m}^2$ 이고 mask 교체를 위해서 Al 증착전과 산화후에 각각 공기중에 노출하였다. 산화는 1.6nm Al 증착후 산소 plasma에 노출해서 산화하는 plasma 산화법을 사용하였다. 자기저항은 four-probe 방법으로 자장을 ±2500Oe까지 가하면서 측정하였고 자기적 특성은 VSM, 박막의 표면은 AFM으로 각각 측정하였다.

#### 3. 실험 결과 및 고찰

그림 1은 강자성체를 NiFe만 사용한 경우와 절연층과의 계면에 Co와 CoFe를 각각 삽입하였을 경우의 자기저항 거동을 보여주고 있다. 그림에서 보면 강자성체를 NiFe만 사용할 경우 자기저항이 8~15%인 것에 Co와 CoFe를 사용하였을 경우 15~20%와 26~30%로 각각 증가하였다. 자기저항의 변화는 강자성체의 spin polarization의 끈에 비례하기 때문에 이러한 자기저항의 차이가 spin polarization의 차이로 생각할 수 있다. 하지만 최근 연구자에 의하면 NiFe와 CoFe의 spin polarization이 0.6으로 거의 같은 것으로 보고되고 있기 때문에 자기저항의 차이가 각 강자성체가 절연층과 형성하는 계면의 상태와 관련이 있다고 판단된다. 그림 2는 최대 MR을 보이는 시편의 자기저항을 보여주고 있다.

그림 3는 Ta(5nm)/NiFe(8nm)/FeMn(12nm)/NiFe(6nm)/CoFe(2nm)/Al<sub>2</sub>O<sub>3</sub>/CoFe(3nm)/NiFe(15nm)의 구조에서 산화시간을 30초에서 90초까지 변화를 시켰을 경우의 자기저항과 저항의 거동을 나타낸 것이다.

그림 2(a)에서 보면 자기저항의 경우는 40초에서 최대값 30%를 보였고 저항의 경우는 산화시간 증가에 따라 계속 증가하는 것을 보여주고 있다. 최대값을 보이는 산화시간보다 산화시간이 작을 경우는 Al층이 완전히 산화되지 않았고 클 경우는 과도하게 산화되는 것으로 판단된다.

#### 4. 참고문헌

- [1] J.S. Moodera et al, Phys. Rev. Lett. 80, 2941(1998)
- [2] S.S.S. Parkin, The 43th annual Conference of MMM proceeding, GA-03, 255(1998)

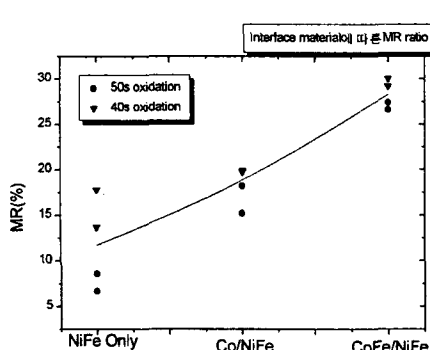


Fig.1 Dependence of TMR on Interfacial materials in Ta(50 Å)/NiFe(80 Å)/FeMn(120 Å)/NiFe(60 Å)/X(20 Å)/Al<sub>2</sub>O<sub>3</sub>/X(30 Å)/NiFe(150 Å)

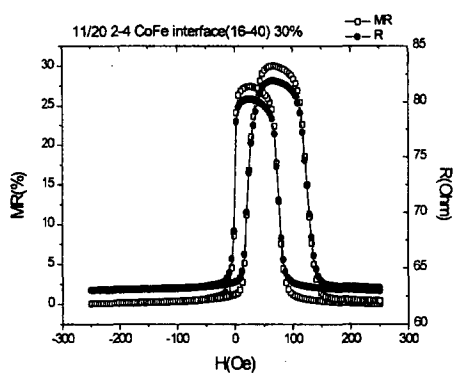
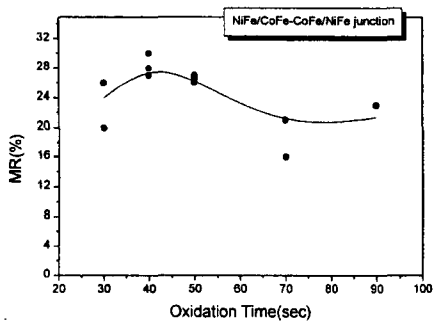
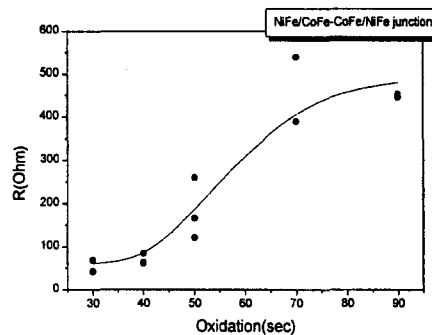


Fig. 2 TMR and Junction resistance in Ta(50 Å)/NiFe(80 Å)/FeMn(120 Å)/NiFe(60 Å)/CoFe(20 Å)/Al<sub>2</sub>O<sub>3</sub>/CoFe(30 Å)/NiFe(150 Å)



(a)



(b)

Fig.3 Dependence of (a)TMR and (b) Junction Resistance on oxidation time(sec) in Ta(50 Å)/NiFe(80 Å)/FeMn(120 Å)/NiFe(60 Å)/CoFe(20 Å)/Al<sub>2</sub>O<sub>3</sub>/CoFe(30 Å)/NiFe(150 Å)